

Ağır Şartlarda Kinematik Sürtünme Katsayısının Belirlenmesi

Metin AKKÖK

Doç.Dr.,
Makina Mühendisliği Bölümü,
İrta Doğu Teknik Üniversitesi,
Ankara

Ağır şartlarda (yüksek hız ve/veya ağır yüklerde) kuru sürtünme katsayılarının belirlenmesinde ısıl etkenlerin varlığı incelenmiştir. Sürtünme nedeni ile oluşan sıcaklığın sürtünen malzemelerden ergime (veya çözülme) sıcaklığı küçük olan ile sınırlanacağından hareket ederek bir model geliştirilmiştir. Blok tarafından geliştiriler basitleştirilmiş yüzey sıcaklık artış teorisi sürtünme katsayısını verecek şekilde yeniden yazılmıştır. Ağır şartlarda sürtünme katsayısını belirleyen ana etkenler; kayma hızı, yük, malzemenin ergime (veya çözülme) sıcaklığı, sertliği ve ısıl özelliklerini olarak bulunmuştur. Bu modelin geçerliliği yayınlanmış bir çok deneyel çalışma ile karşılaştırılarak tartışılmıştır.

GİRİŞ

Malzemelerin kuru sürtünme katsayıları değişik çalışma şartlarında büyük farklılıklar göstermektedir. Sürtünme kuvvetine malzeme yüzeyindeki mikro boyutlardaki pürzelerin neden olduğu bilinmektedir. Pürzelerin yük altında kaynaması ve kayma hareketi ile de bu bağların kesilmesi olarak bilinen yapışma modeli ve yüzeylerden daha sert olanın pürzelerinin yumuşak olan yüzeyi çizmesi (kazması) olarak bilinen klasik sürtünme modelleri sürtünme katsayılarındaki büyük farkları yeterince açıklılamamaktadır.

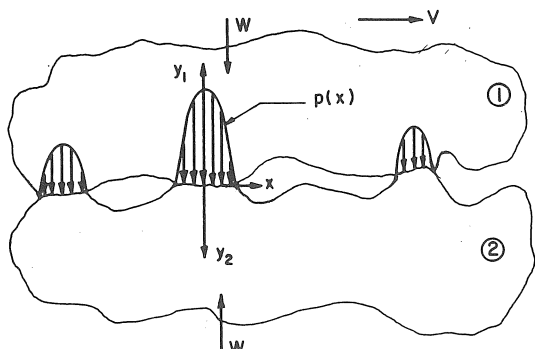
Kuru sürtünme katsayısı özel olarak seçilen deney şartlarında belirlenir. Özellikle çalışma şartlarının, sürtünmeden doğan ısının sürtünme katsayıını etkilemeyecek şekilde düzenlenmesi gereklidir. Böyle durumlarda sürtünme katsayıyı yapışma ve şekil değiştirme bileşenleri ile belirlenir. Özellikle ergime sıcaklığına yakın çalışma şartlarında veya malzemenin mekanik özelliklerinin değiştiği çözülme (kimyasal olarak) sıcaklığına yakın çalışma şartlarında sürtünme sonucu üretilen ısi ile malzemenin yüzey sıcaklığı, ergime (veya çözülme) sıcaklığına erişebilir.

Bu çalışmada ağır şartlarda (yüksek hız ve/veya ağır yüklerde) sürtünme ile üretilen ısi enerjisinin yüksek olması ve bu ısının yeterince hızlı iletilemesi durumu incelenmiş ve ısıl etkenlerin varlığı gösterilmiştir.

DÜZGÜN OLМАYAN YÜZEYLER İÇİN SÜRTÜNME KATSAYISI

Yüzeyleri düzgün olmayan iki cisim sabit relativ V hızı ile kaymakta iken birbirlerine karşı yüklenmesi durumunda temas Şekil 1'de görüleceği gibi birden fazla küçük alan üzerinde olacaktır ve bu temas alanları devamlı olarak değişecektir. Temas alanlarında farklı elastik ve plastik şekil değişikliğine bağlı olarak oluşan temas basıncı dağılımı, $p(x)$, nedeni ile birim alanda yerel olarak bir anlık üretilen ısi;

$$q(x) = \mu(x) P(x)V \quad (1)$$



Şekil 1 Düzgün olmayan yüzeylerdeki değişken temas alanları

şeklinde yazılabilir. Burada $\mu(x)$ yerel sürtünme katsayısıdır. Bu ısı kayan ve sabit yüzeye iletilecektir. Kayan ve sabit yüzeyler için sıcaklık dağılımları $T_1(x, y_1)$ ve $T_2(x, y_2)$, ıslı iletkenlik katsayıları k_1 ve k_2 olarak tanımlanırsa yerel olarak üretilen ısı için denge denklemi aşağıdaki şekilde yazılabilir.

$$\mu(x)P(x)V = k_1 \frac{\partial T_1}{\partial y_1} \Big|_{y_1=0} + k_2 \frac{\partial T_2}{\partial y_2} \Big|_{y_2=0} \quad (2)$$

Bu denklem verilen bir temas basınç dağılımı ve kayma hızı için bilinen konvansiyonel sayısal yöntemler kullanılarak sürtünme katsayısını lokal olarak verecek şekilde çözülebilir [1].

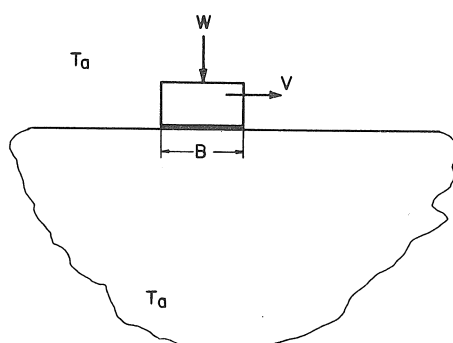
Bu yöntemle sürtünme katsayısı için hassas değerler elde etmek mümkün olmasına karşın sürtünmenin yüzeylerin mikro boyuttaki geometrisinin bilinmesini ve aşırı derecede bilgisayar zamanı ve belleği gerektirdiği için çok kullanışlı olmamaktadır. Bunun yerine düz yüzeyler için geliştirilmiş olan sürtünmenin yüzeylerdeki sıcaklık artısını analitik olarak veren basitleştirilmiş model kullanılacaktır.

DÜZ YÜZEYLER İÇİN SÜRTÜNMEDE SICAKLIK ARTIŞI

Şekil 2'de görüldüğü gibi yarı-sonsuz bir cisimin düz yüzeyi üzerinde sabit bir W yükü altında V hızı ile kaymakta olan diğer bir cisim düşünelim. İki yüzey arasındaki sürtünme katsayısı, μ , nedeni ile birim temas alanında üretilen ısı, q , aşağıdaki denklemle verilir.

$$q = \mu PV \quad (3)$$

Burada P yük altında yüzeylerdeki temas basıncıdır. Böylece sürtünmede sıcaklık artışı V hızı ile hareket etmekte olan q şiddetindeki bir ısı kaynağı modeli ile bulunabilir. Isı kaynağının yeteince hızlı kaydığını durumlarda hareketli yüzey sürekli olarak çalışma ortam sıcaklığındaki, T_a , daha soğuk yüzeyle temas edecektir ve belli bir sürekli sıcaklığa erişecektir. Bu nedenle üretilen ısının büyük bir kısmı daha soğuk olan sabit yüzeye iletilecektir [2]. ısının malzemeye iletilme derinliği



Şekil 2 Yarı-sonsuz cisim üzerinde yük altında kayan cisim

temas yüzeyi boyutlarına göre küçük olmaktadır. Bu nedenle ısının yatay yönde akışı ihmali edilebilecek kadar küçük olduğu varsayımlı ile ısı iletimi bir boyutlu ısı akış problemi olarak düşünülebilir ve yüzeydeki sıcaklık, T_u , artışı aşağıdaki denklemle verilir [1].

$$T_u - T_a = 2q \left(\frac{t}{\pi k \rho c} \right)^{1/2} \quad (4)$$

Burada k, ρ ve c sabit yüzeyin sırasıyla ıslı iletkenlik katsayısı, özgül kütlesi ve ısı kapasitesidir. Bu denklem sabit yüzey üzerindeki herhangi bir noktadaki sıcaklık artısını ısı akışının uygulandığı süre, t , ile vermektedir. Kayma yönünde ısı kaynağı boyu B olarak alınırsa, en yüksek sıcaklık ısı kaynağının arka kenarındaki noktada olacaktır. $t = B/V$ ilişkisi denklem (4)'de yerine konulursa en yüksek sıcaklık artışı aşağıdaki denklemle verilir.

$$T_{\max} - T_a = 2q \left(\frac{B}{\pi V k \rho c} \right)^{1/2} \quad (5)$$

Buradan görüldüğü gibi sıcaklık artışı uygulanan ısı akışı ile doğru orantılıdır. Ağır şartlarda üretilen sürtünme enerjisini yüksek olmasıyla yüzeydeki en yüksek sıcaklık malzemelerden ergime (veya çözüme) sıcaklığı düşük olana erişir. Fakat bu değeri aşamaz. Bu durumda sıcaklık artışı sınırlanmış olacağından ısı iletimi de sınırlanacak ve çalışma şartlarının ağırlaşması durumunda üretilen enerji sürtünme katsayısının azalması ile sabit bir değerde kalabilecektir.

SÜRTÜNME KATSAYISININ BELİRLENMESİ

Ağır şartlarda aşırı sürtünme enerjisi üretimi ile en yüksek sıcaklığın malzemelerden ergime (veya çözüme) sıcaklığı düşük olanla sınırlanması sıcaklık artısını belirler. Bu nedenle sıcaklık artışı denklemi (5) sürtünme katsayısını bağımsız bir parametre olarak verecek şekilde yazılabilir.

Tam Yüzey Teması

Yüzey pürüzlülüğü olmayan ideal düz yüzeyler için veya çok küçük temas yüzeyleri için yükün tüm yüzeye eşit dağıldığı kabul edilebilir. Bu durumda yük ile temas basıncı doğru orantılı olarak değişecektir. (3) numaralı denklemle verilen sürtünme ısısı (5) numaralı denklemde yerine koyularak sürtünme katsayısı çözülürse aşağıdaki eşitlik elde edilir.

$$\mu = C \frac{T_d - T_a}{P} \left(\frac{k \rho c}{VB} \right)^{1/2} \quad (6)$$

Burada C bir sabit olup aşağıda tartışılacaktır. T_d , kayan veya sabit yüzeyin ergime (veya çözüme) sıcaklığı (hangisi küçük ise) ve T_a çalışma ortamı sıcaklığıdır.

Böylece sürtünme katsayısının yük ile ve kayma hızının karekökü ile ters orantılı olarak değiştiği görülür.

Eşitlik (6) en yüksek yüzey sıcaklığının temas alanının çıkış kenarında olması varsayıma dayanılarak elde edilir. Diğer bir varsayıma da sürtünme ile üretilen tüm ısının yarı-sonsuz cisme iletilmiş olmasıdır. Gerçekte az da olsa üretilen ısının bir kısmı kayıcıya iletilirken diğer kısmı da yarı-sonsuz cisme iletilir. C katsayısının (6) numaralı denklemdeki değeri $\sqrt{\pi}/2 = 0.886$ dir. Eğer en yüksek sıcaklık ortalama bir yüzey sıcaklığı olarak alınırsa $C = 1.46$ kullanılabilir [3]. Sabit sıcaklıktaki bir ısı kaynağı için yapılan bir model ile de bu katsayı 2.0 olarak bulunmuştur [4] ve bu değer kullanılacaktır.

Kısmi Yüzey Teması

Bilindiği gibi gerçek yüzeyler pürüzlülük nedeni ile birden fazla noktada temas ederler. Bu temas noktaları aşın yük ile elastik ve plastik şekil değişikliğine uğrayabilir. Burada karşılaşılan iki büyük zorluk vardır. Bunlardan birincisi gerçek temas basıncı değerinin bilinmesidir. Temas noktalarında alanın küçük olduğu varsayımla tüm temas noktalarının plastik şekil değişikliğine uğradığı kabul edilebilir. Bu nedenle gerçek temas basıncı olarak malzemelerden yumuşak olanın iz sertliği (akma sertliği) P alınabilir. Diğer bir bilinmeyen de temas noktalarının sayısıdır. Temas noktalarının alanın küçük olması nedeniyle dairesel olarak alınabilir. Ortalama çap B olarak alınırsa, n temas noktası için yük ile gerçek temas basıncı ve alanı arasında aşağıdaki eşitlik yazılabilir.

$$\frac{\pi B^2}{4} \cdot n \cdot P_h = W \quad (7)$$

Buradan B boyutunu çözüp (6) numaralı denklemde yerine koyarak ve (3) no.lu denklemde temas basıncı olarak P_h , alınarak sürtünme katsayısı aşağıdaki şekilde yazılabilir.

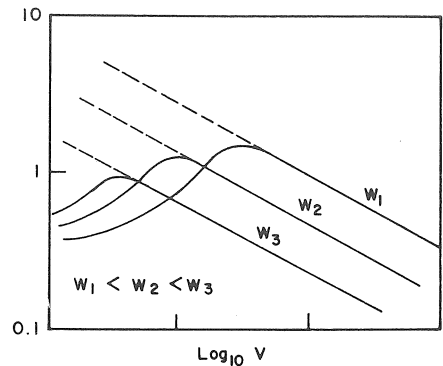
$$\mu = 1.88 \frac{T_d - T_a}{P_h^{3/4}} \cdot \left(\frac{k \rho C}{V} \right)^{1/2} \left(\frac{n}{W} \right)^{1/4} \quad (8)$$

Buradan sürtünme katsayısının $\mu \propto V^{-1/2} W^{-1/4}$ değiştiği görülür. Temas halindeki geniş yüzeyli cisimlerin sürtünme katsayısının bulunması için temas noktası sayısının bilinmesi gereklidir. Yukarıda yüzeyler arasında üç noktada taşıdığı varsayımla mikroskopik temas alanlarının üç büyük temas alanında toplandığı düşünülebilir. Bu şekilde kısmi yüzey teması için geliştirilmiş olan eşitlik (8) geniş yüzeyli cisimler için $n = 3$ alınarak kullanılabilir. Sürtünme katsayısının $n^{1/4}$ ile değişmesi bu sayının etkisinin kuvvetli olmadığı bir göstergesidir.

SÜRTÜNME MODELİNİN DENEYSEL BULGULARLA KARŞILAŞTIRILMASI

Hızın Etkisi

Sürtünme katsayısının ıslı etkenlerle belirlenmesinde en önemli şart sürtünmenin ağır şartlarda gerçekleşmesi ve bu nedenle de üretilen ısının yüksek olmasıdır. Bu özellik sürtünme katsayısının

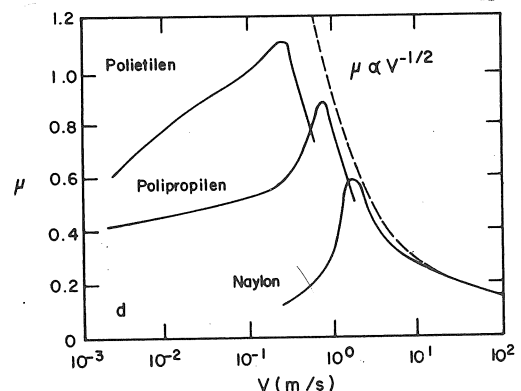


Şekil 3 Sürtünme katsayısının karakteristik değişimi

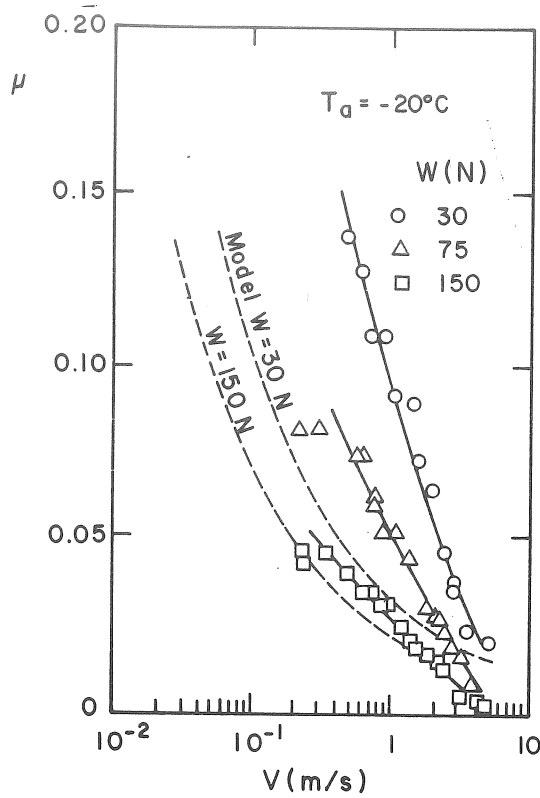
değişik yükler için hız ile değişimini gösteren bir grafikte gösterilebilir. Şekil 3'de düşük hızlar için yüzey sıcaklığı ergime (veya çözülme) sıcaklığına erişemediği için yukarıda bahsedilen model geçerli değildir. Bu durumda sürtünme yüzey pürzelerinin yapışma-kesilme ve şekil değiştirme (kazıma) bileşenleri ile belirlenir. Düşük hızlarda sabit yükler için sürtünme katsayısının hız ile arttığı bilinmektedir. Bu artış sürtünmenin ıslı etkenlerle belirlenmeye başladığı $\mu \propto V^{-1/2}$ eğrisine erişinceye kadar devam eder ve bundan sonra sürtünme katsayısı hız ve yük ile düşmeye başlar (Şekil 3).

Bu özelliğin deneyel olarak gösterilmesinde en belirgin örnek Şekil 4'de görülmektedir. Burada üç polimerin çelik yüzeyi üzerindeki sürtünme katsayısının kayma hızına göre değişimi verilmektedir [5]. Çözülme sıcaklıklarının farklı olması nedeni ile (Polietilen: 80°C, Polipropilen: 145°C, Naylon: 250°C) sürtünme katsayısının ıslı etkenlerle belirlenmeye başladığı sınır bölgesi açık bir şekilde artan hızlarda görülmektedir. Burada kesik çizgi ile gösterilen eğri Naylon için 10 m/s'deki deneyel değerinden geçen $\mu \propto V^{-1/2}$ eğrisidir.

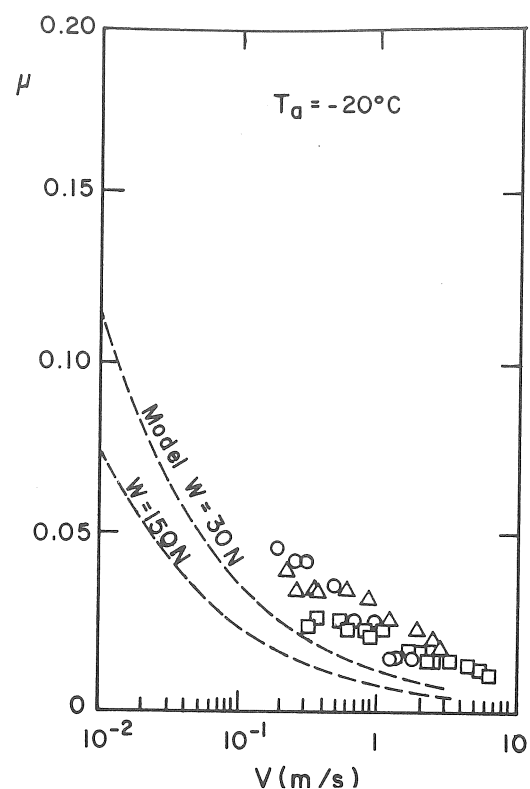
Sürtünme katsayısını etkileyen faktörlerin belirlenmesi için yapılan bir çalışmada ergime sıcaklığı düşük olan buz ile farklı ıslı temas katsayısı olan malzemeler arasındaki sürtünme katsayısının değişimi deneyel olarak incelenmiştir [6]. Şekil



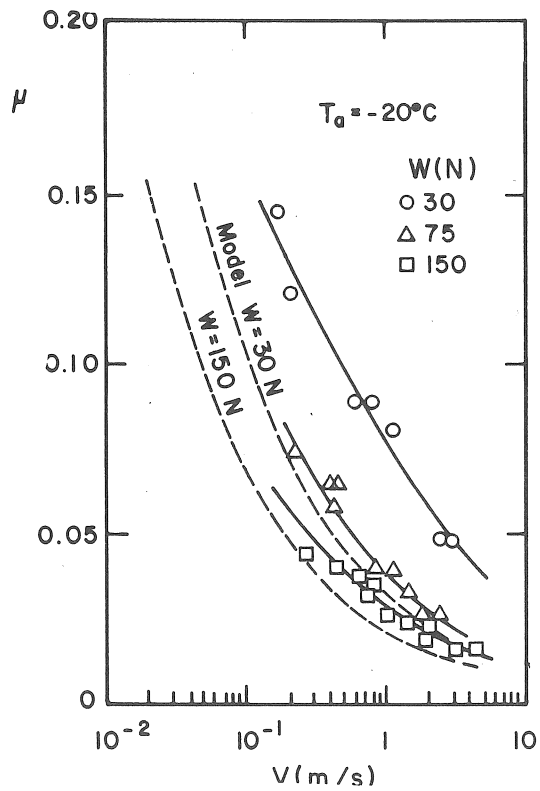
Şekil 4 Üç polimer için sürtünme katsayısının hız'a göre değişimi



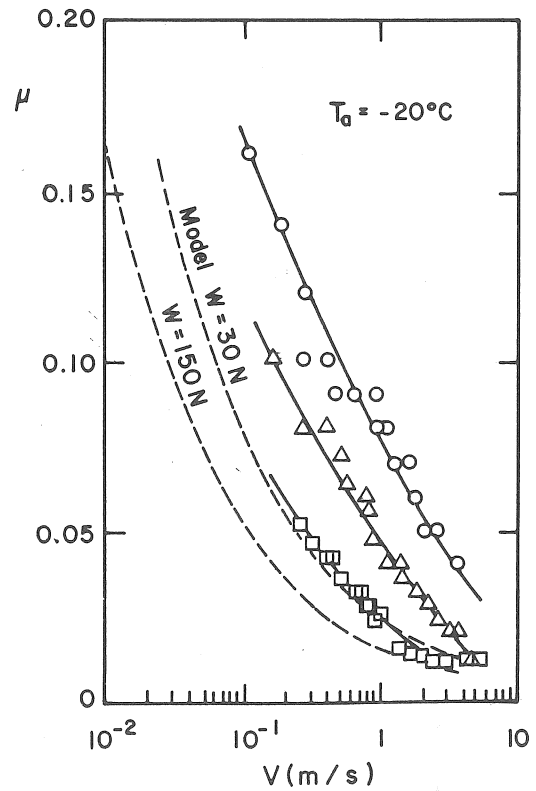
(a) Buz üzerinde naylon kayıcıclar



(b) Nylon üzerinde buz kayıcıclar



(c) Buz üzerinde cam kayıcıclar



(d) Cam üzerinde buz kayıcıclar

Sekil 5 Nylon ve cam ile buz arasındaki sürtünme katsayısunun değişimi

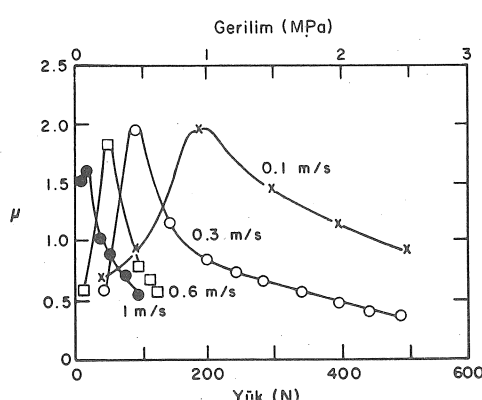
5a,b'de Nylong ile buz arasındaki sürtünme katsayısının hızla göre değişimi çeşitli yükler için verilmiştir. Aynı şekilde cam ile buz için sürtünme katsayısının değişimi Şekil 5c,d'de verilmiştir. Burada kesik çizgi ile gösterilen sürtünme katsayısı değişimleri kısmi temas için (8) numaralı denklemden elde edilmiştir. Buz için ergime sıcaklığı 0°C olmasına rağmen iz sertliği bu sıcaklıktan daha düşük bir sıcaklıkta (yaklaşık -1°C 'de) ani bir düşme göstermektedir [7]. Bu fark ihan edilerek en yüksek yüzey sıcaklığı sınırı olarak 0°C alınmıştır. Buzun sertliğinin sıcaklığına göre değişimi Barnes ve Tabor [7] tarafından ölçülmüş ve -10°C 'den daha düşük sıcaklıklar için sertliğin değişiminin az olduğu gözlenmiştir. Bu değerler kullanılarak -20°C 'deki çalışma sıcaklığı için buzun iz sertliği yaklaşık olarak $P = 100 \text{ MPa}$ alınmıştır. Bu deneyler üç silindir kayıcı ile buz üzerinde yapıldığı için burada $n = 3$ alınmıştır. Çeşitli deney grupları için yaklaşık olarak $\mu \propto V^{-0.34}$ ile $\mu \propto V^{-0.58}$ arasında değiştiği görülmüştür.

Yükün Etkisi

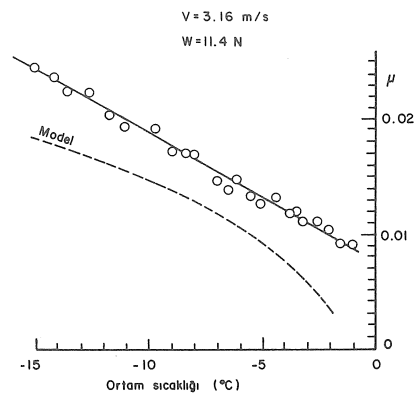
Sürtünmenin ıslı etkenlerle belirlendiği şartlarda sürtünme katsayısı yükün artması ile azalmaktadır. Kısıtlı temas olan yüzeyler için $\mu \propto W^{-0.25}$ ve tam temaslı yüzeyler için $\mu \propto W^{-1}$ olarak bulunmuştur.

Bu bulguların deneysel sonuçlarla karşılaştırılması için Nylong'un çelik üzerindeki sürtünme katsayıısının sabit hızlar için yük göre değişimi Şekil 6'da verilmiştir [8]. Burada ıslı etkilerin başlangıcı yükün artması ile açık bir şekilde görülmektedir. Hız arttıkça ıslı etkilerin başlaması daha hafif yüklerde olmaktadır. Sürtünme katsayıısının değişimi yaklaşık olarak $\mu \propto W^{-1}$ eğrisini takip etmektedir.

Buz üzerinde nylong, cam, çelik kayıcılar ve nylong, cam, çelik üzerinde buz kayıcıları ile yapılan deneylelerden yaklaşık olarak $\mu \propto W^{-0.55}$ ile $\mu \propto W^{-0.58}$ arasında değiştiği görülmüştür [6]. Bu değerler kısmılı ve tam temas durumları için olan değerler arasındadır.



Şekil 6 Çelik üzerinde nylong kayıcılar için sürtünme katsayıısının değişimi



Şekil 7 Buz üzerinde çelik kayıcılar için ortam sıcaklığının sürtünme katsayıısına etkisi

Ortam Sıcaklığının Etkisi

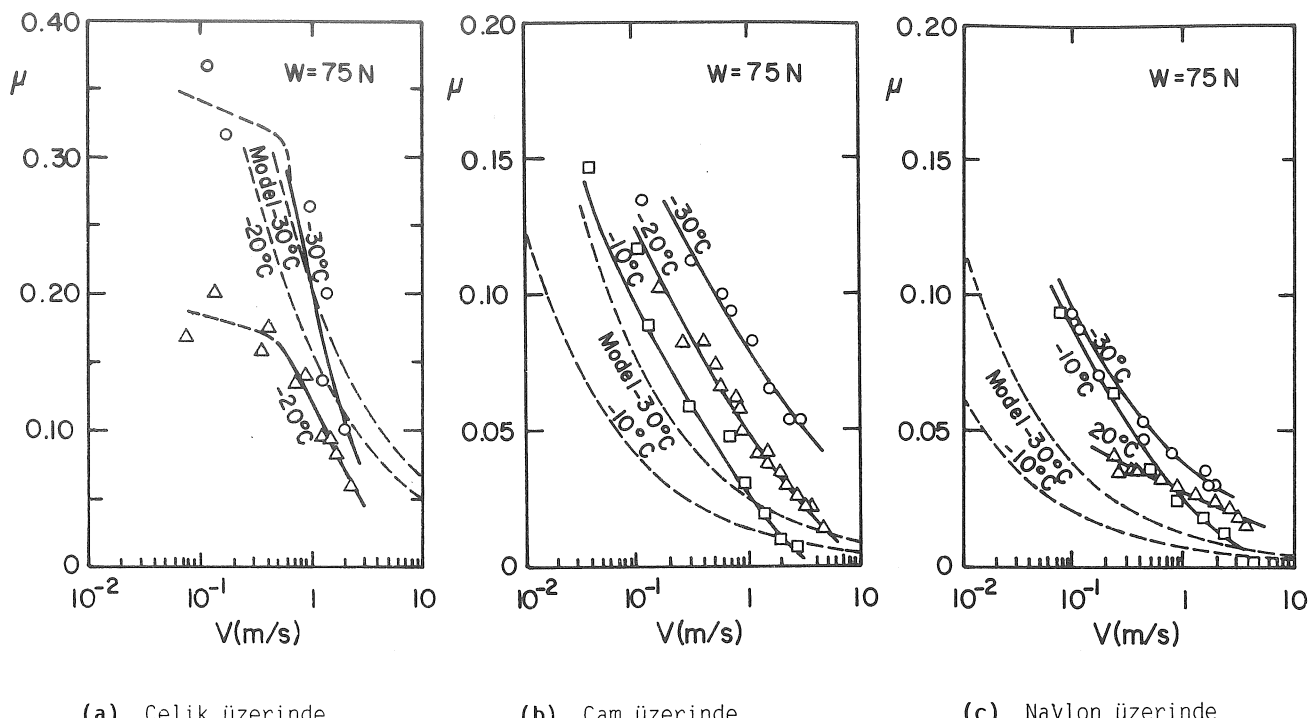
Şekil 7'de Evans ve diğerleri [9] tarafından deneyel olaraq elde edilen buz üzerinde çelik kayıcılar için sürtünme katsayıları verilmiştir. Bu deneylerde çelik kayıcı bir noktada buz yüzeyine yüklenigidinden $n = 1$ alınarak elde edilen sürtünme katsayısı değerleri kesik çizgi ile gösterilmiştir. Sürtünme katsayıısının ortam sıcaklığı 0°C 'ye yaklaşırken doğrusal olarak değişmesinin nedeni buz sertliğinin düşmesidir. Şekil 8'de buz kayıcılarının çeşitli malzemeler üzerindeki sürtünme katsayılarının değişimi aynı yük değeri için verilmiştir [6]. Bu deney sonuçlarından, çeşitli deney grupları için $\mu \propto (T_d - T_a)^{-0.69}$ ile $\mu \propto (T_d - T_a)^{-0.82}$ arasında değiştiği bulunmuştur.

SONUÇ

Ağır şartlarda sürtünme ile üretilen ısının yüksek olması nedeni ile sürtünme katsayıısının ıslı etkenlerle belirlendiği gösterilmiştir. Sürtünmede en yüksek sıcaklığın malzemelerden ergime (veya çözülme) sıcaklığı düşük olan ile sınırlanması ısı iletimini sınırlamaktadır. Bu nedenle sürtünme katsayıısını elirleyen en önemli etkenlerden birisi sürtünmenin malzemelerin ergime (veya çözülme) sıcaklığı olsatır. Sürtünme katsayıısının hız, yük ve ortam sıcaklığının artması ile azaldığı gösterilmiştir. Bu bulaların yayınlanmış deneysel sonuçlarla yapılan arşılasmalarında uyum sağlandığı gözlenmiştir.

DETERMINATION OF KINETIC COEFFICIENT OF FRICTION UNDER SEVERE CONDITIONS

The concept of thermal control of dry friction coefficient under severe sliding conditions is investigated. A model is developed by considering the maximum temperature occurring in dry sliding which is the decomposition temperature of the slider or counterface (whichever temperature is lower). Blok's flash



Şekil 8 Buz kayıcılarının çeşitli malzemeler üzerindeki sürtünme katsayılarının sıcaklığı göre değişimi

temperature theory is manipulated to give the coefficient of friction as a dependent parameter. Under severe sliding conditions the principal factors controlling friction appear to be the sliding velocity, load, and the melting (or decomposition) temperature, hardness and thermal properties of the materials. The model is compared with several sets of experimental results, available in the literature.

KAYNAKÇA

- 1 Ettles, C., "The Thermal Control of Friction at High Sliding Speeds", *Trans. ASME*, 85-Trib-37, (1985).
- 2 Blok, H., "Theoretical Study of Temperature Rise at Surfaces of Actual Control Under Oiliness Lubricating Conditions", *I. Mech. E., Proc.*, 2 (1937), 225-235.
- 3 Archard, J.F., "Elastic Deformation and the Laws of Friction", *Proc. Roy. Soc. (London)*, A 243, (1958), 190-225.
- 4 Ettles, C., "Heat Generation and Friction in Rotating Bands", *ASLE Preprint*, 85-AM-1A-1, (1985).
- 5 McLaren, K.G. ve Tabor, D., "Friction of Polymers: Influence of Speed and Temperature", *Nature*, 197, (1963), 856-858.
- 6 Akkök, M., Ettles, C. ve Calabrese, S.J., "Parameters Affecting the Kinematic Friction of Ice", *Trans. ASME, Jour. of Tribology*'de yayınlanacak, (1986).
- 7 Barnes, P. ve Tabor, D., "Plastic Flow and Pressure Melting in the Deformation of Ice", *Nature*, 210 (1966), 873-883.
- 8 Watanabé, M., Kerasawa, M. ve Matsubara, K., "The Friction Properties of Nylon", *Wear*, 12 (1968), 185-192.
- 9 Evans, D.C.B., Nye, J.F. ve Chessman, K.J., "The Kinematic Friction of Ice", *Proc. Roy. Soc.*, S.347, (1976), 473-512.